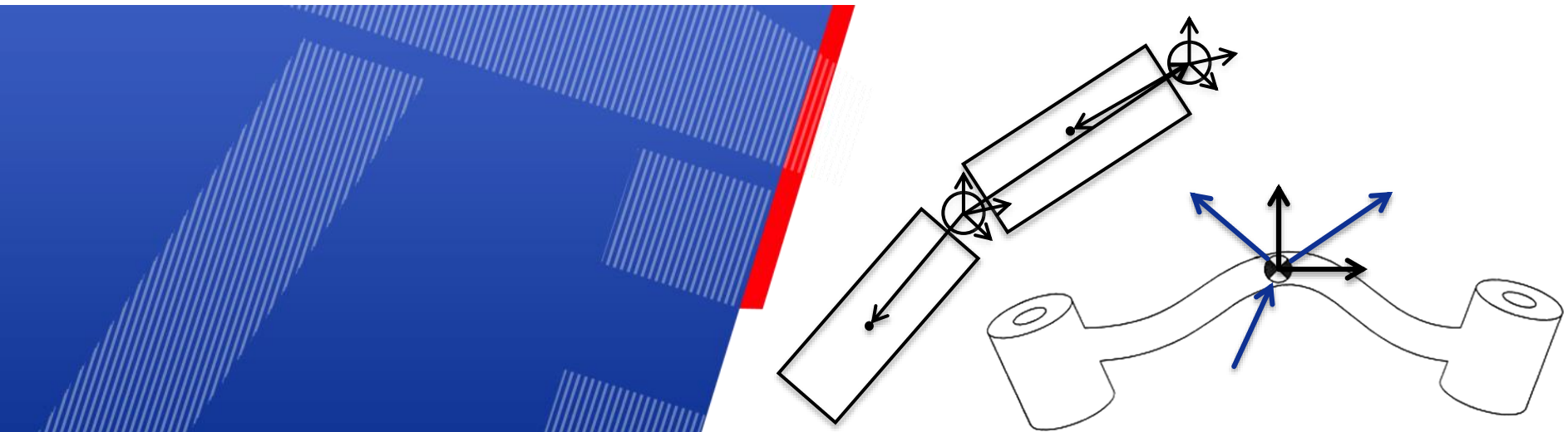


Robotermodellierung IV



Prof. Karsten Berns

Robotics Research Lab

Department of Computer Science

University of Kaiserslautern, Germany

Inhalt

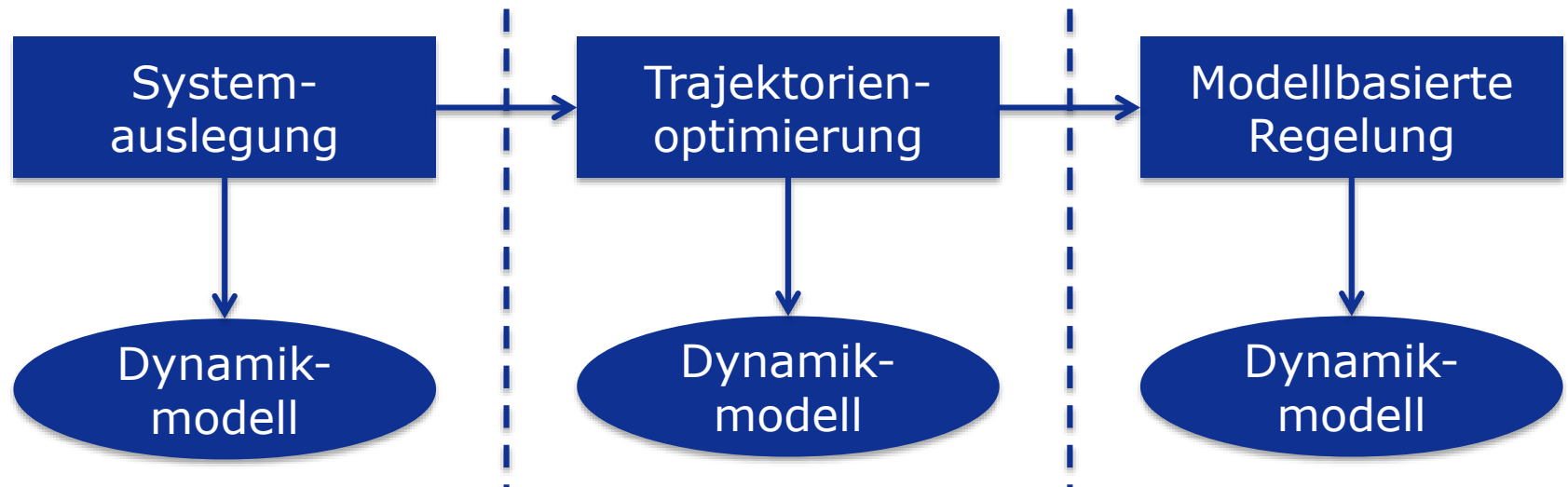
- Verwendung des dynamischen Modells
- Beschleunigung und Winkelbeschleunigung
- Massenträgheitsmoment
- Dynamikberechnung nach Newton-Euler
- Dynamikberechnung nach Lagrange
- Vergleich der Ansätze

Dynamische Modellierung

- Berechnet Zusammenhang von Kräften, Momenten und Bewegungen, welche in einem mechanischen Mehrkörpersystem auftreten
- Nutzen
 - Analyse der Dynamik
 - Synthese mechanischer Strukturen
 - Modellierung elastischer Strukturen
 - Reglerentwurf

Dynamische Modellierung: Anwendung

- Phasen von Roboter-Entwicklung und -Betrieb



- Modellierung in unterschiedlichen Phasen
- Hoher Zeitaufwand; Fehler u. Inkonsistenzen wahrscheinlich
- Wiederverwendbarkeit von Dynamikmodell-Code schwierig bei Änderungen (kinemat. Struktur, Gelenktypen, Antriebe)

Dynamische Modellierung: Bewegungsgleichung

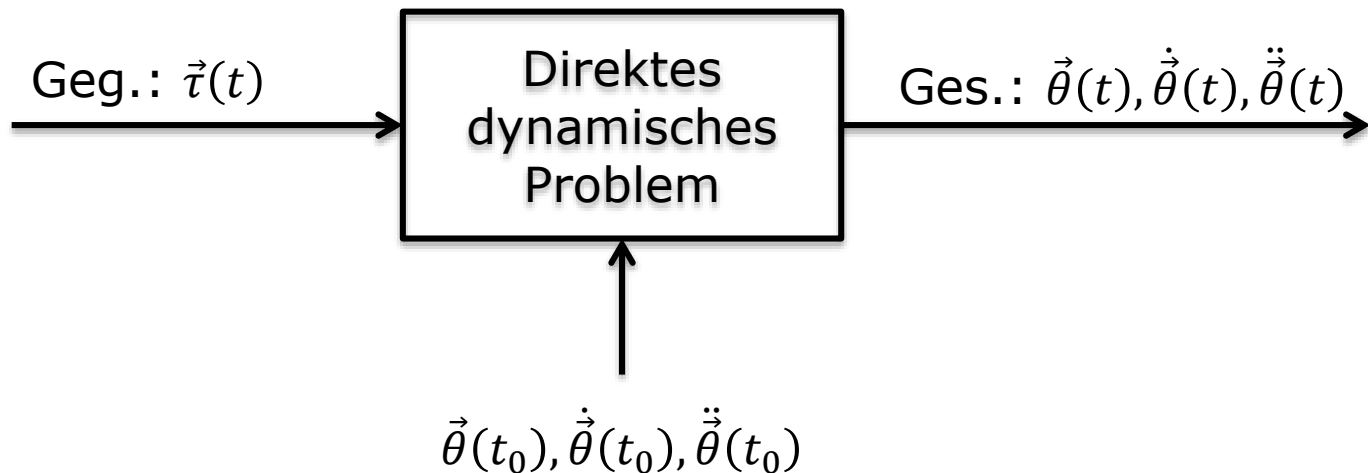
- Beziehungen zwischen Kräften/Momenten, Lagen, Geschw. und Beschleunigungen der n Armelemente

$$\vec{\tau} = M(\vec{\theta}) \cdot \ddot{\vec{\theta}} + n(\dot{\vec{\theta}}, \vec{\theta}) + g(\vec{\theta}) + R \cdot \dot{\vec{\theta}} \quad (8.1)$$

- $\vec{\tau}$: $n \times 1$ Vektor der allgemeinen Stellkräfte und -momente
- $M(\vec{\theta})$: $n \times n$ Massenträgheitsmatrix
- $n(\dot{\vec{\theta}}, \vec{\theta})$: $n \times 1$ Vektor mit Zentrifugal- und Corioliskomponenten
- $g(\vec{\theta})$: $n \times 1$ Vektor mit Gravitationskomponenten
- R : $n \times n$ Diagonalmatrix zur Beschreibung der Reibungskräfte
- $\vec{\theta}$: $n \times 1$ Stellgrößen des Manipulators

Direktes dynamisches Problem

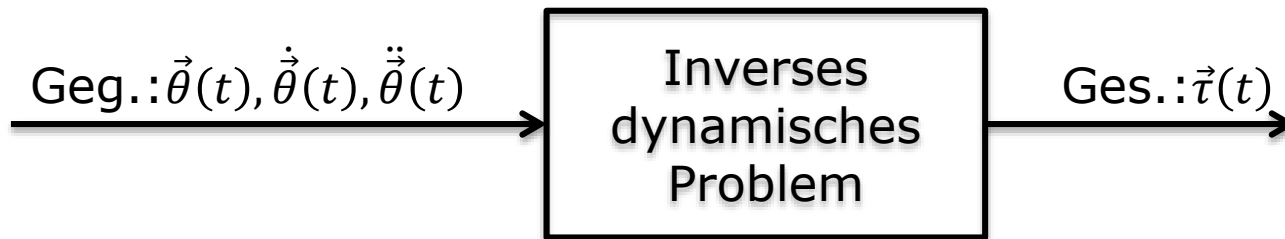
- Aus Masse, äußeren Kräften und Momenten, sowie Lage, Anfangsgeschwindigkeit und -beschleunigung werden die sich ergebenden Bewegungsänderungen berechnet



- Gleichung (8.1) auflösen nach: $\vec{\theta}(t), \dot{\vec{\theta}}(t), \ddot{\vec{\theta}}(t)$

Inverses dynamisches Problem

- Aus gewünschten Bewegungs- und kinematischen Parametern die erforderlichen Stellkräfte und –momente ermitteln



- Gleichung (8.1) ausrechnen

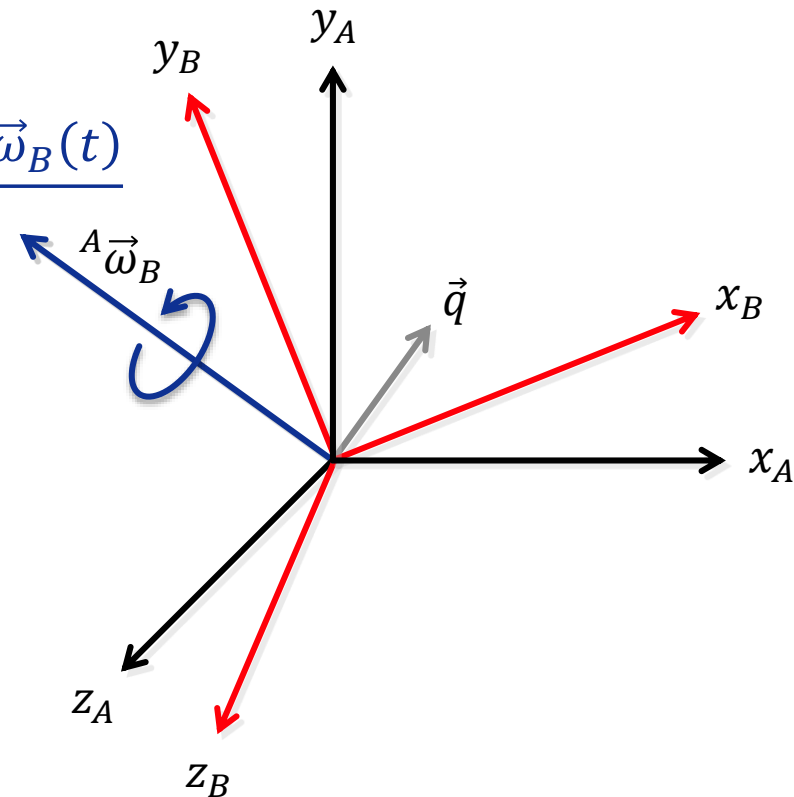
Beschleunigung bei starren Körpern

- Linearbeschleunigung

$${}^B\dot{\vec{v}}_q = \frac{d}{dt} {}^B\vec{v}_q = \lim_{\Delta t \rightarrow 0} \frac{{}^B\vec{v}_q(t + \Delta t) - {}^B\vec{v}_q(t)}{\Delta t}$$

- Winkelbeschleunigung

$${}^A\dot{\vec{\omega}}_B = \frac{d}{dt} {}^A\vec{\omega}_B = \lim_{\Delta t \rightarrow 0} \frac{{}^A\vec{\omega}_B(t + \Delta t) - {}^A\vec{\omega}_B(t)}{\Delta t}$$



Linearbeschleunigung

- Linearbeschleunigung ausgehend von Geschwindigkeit

$${}^A\vec{v}_q = {}^A_B R \cdot {}^B\vec{v}_q + {}^A\vec{\omega}_B \times {}^A_B R \cdot {}^B\vec{q} \quad \text{Vgl. (7.1)}$$

- Da Ursprünge von Frame A und B zusammenfallen gilt

$$\frac{d}{dt}({}^A_B R \cdot {}^B\vec{q}) = {}^A_B R \cdot {}^B\vec{v}_q + {}^A\vec{\omega}_B \times {}^A_B R \cdot {}^B\vec{q} \quad (8.2)$$

- Ableitung der Geschwindigkeit: Linearbeschleunigung

$${}^A\dot{\vec{v}}_q = \frac{d}{dt}({}^A_B R \cdot {}^B\vec{v}_q) + {}^A\dot{\vec{\omega}}_B \times {}^A_B R \cdot {}^B\vec{q} + {}^A\vec{\omega}_B \times \frac{d}{dt}({}^A_B R \cdot {}^B\vec{q}) \quad (8.3)$$

- Einsetzen von (8.2) in (8.3)

$$\begin{aligned} {}^A\dot{\vec{v}}_q &= {}^A_B R \cdot {}^B\dot{\vec{v}}_q + {}^A\vec{\omega}_B \times {}^A_B R \cdot {}^B\vec{v}_q + {}^A\dot{\vec{\omega}}_B \times {}^A_B R \cdot {}^B\vec{q} \\ &\quad + {}^A\vec{\omega}_B \times ({}^A_B R \cdot {}^B\vec{v}_q + {}^A\vec{\omega}_B \times {}^A_B R \cdot {}^B\vec{q}) \end{aligned}$$

Linearbeschleunigung

- Zusammenfassung

$${}^A\dot{\vec{v}}_q = {}^A_R \cdot {}^B\dot{\vec{v}}_q + 2 \cdot ({}^A\vec{\omega}_B \times {}^A_R \cdot {}^B\vec{v}_q) \\ + {}^A\dot{\vec{\omega}}_B \times {}^A_R \cdot {}^B\vec{q} + {}^A\vec{\omega}_B \times ({}^A\vec{\omega}_B \times {}^A_R \cdot {}^B\vec{q})$$

- Allgemeiner Fall (Frames A, B ohne geteilte Ursprünge)

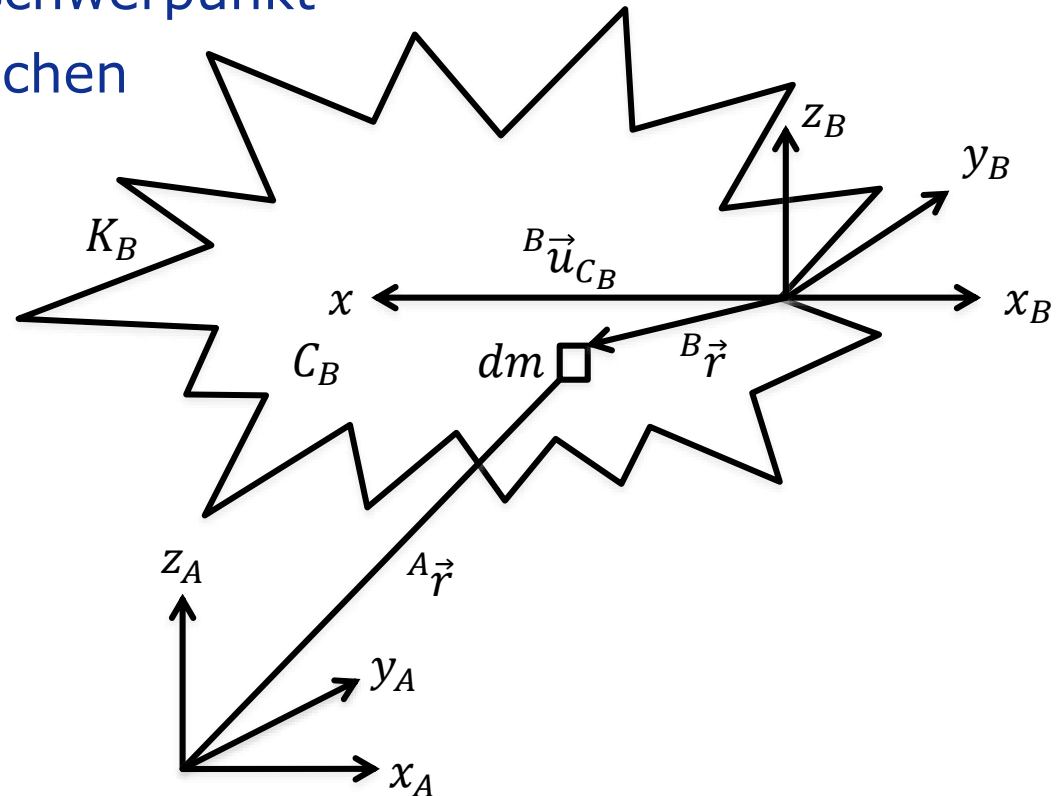
$${}^A\dot{\vec{v}}_q = {}^A\dot{\vec{v}}_{OB} + {}^A_R \cdot {}^B\dot{\vec{v}}_q + 2 \cdot ({}^A\vec{\omega}_B \times {}^A_R \cdot {}^B\vec{v}_q) \\ + {}^A\dot{\vec{\omega}}_B \times {}^A_R \cdot {}^B\vec{q} + {}^A\vec{\omega}_B \times ({}^A\vec{\omega}_B \times {}^A_R \cdot {}^B\vec{q})$$

- Unter Berücksichtigung das ${}^B\vec{q}$ sich nicht bewegt

$${}^B\vec{v}_q = {}^B\dot{\vec{v}}_q = \vec{0} \\ \Rightarrow {}^A\dot{\vec{v}}_q = {}^A\dot{\vec{v}}_{OB} + {}^A\dot{\vec{\omega}}_B \times {}^A_R \cdot {}^B\vec{q} + {}^A\vec{\omega}_B \times ({}^A\vec{\omega}_B \times {}^A_R \cdot {}^B\vec{q})$$

Massenverteilung: Geometr. Vorbetrachtung

- dm : Massenteilchen
- C_B : Massenschwerpunkt des Körpers K_B
- \vec{u}_{C_B} : Vektor zu Massenschwerpunkt
- \vec{r} : Vektor zu Massenteilchen



Massenverteilung: Massenträgheitstensor

- Massenträgheitstensor in Bezug auf Frame A , der die Trägheit des Körpers bzgl. Drehungen angibt

$${}^A I = \begin{bmatrix} {}^A i_{XX} & -{}^A i_{xy} & -{}^A i_{xz} \\ -{}^A i_{xy} & {}^A i_{yy} & -{}^A i_{yz} \\ -{}^A i_{xz} & -{}^A i_{yz} & {}^A i_{zz} \end{bmatrix}$$

- Skalare Elemente des Massenträgheitstensors (Berechnung durch Integration über Masseverteilung M)

- Axiale Trägheitsmomente (Massenträgheitsmoment)

$${}^A i_{xx} = \iiint_M (y_A^2 + z_A^2) dm \quad {}^A i_{yy} = \iiint_M (x_A^2 + z_A^2) dm \quad {}^A i_{zz} = \iiint_M (x_A^2 + y_A^2) dm$$

- Massenträgheitsprodukt

$${}^A i_{xy} = \iiint_M x_A y_A dm \quad {}^A i_{xz} = \iiint_M x_A z_A dm \quad {}^A i_{yz} = \iiint_M y_A z_A dm$$

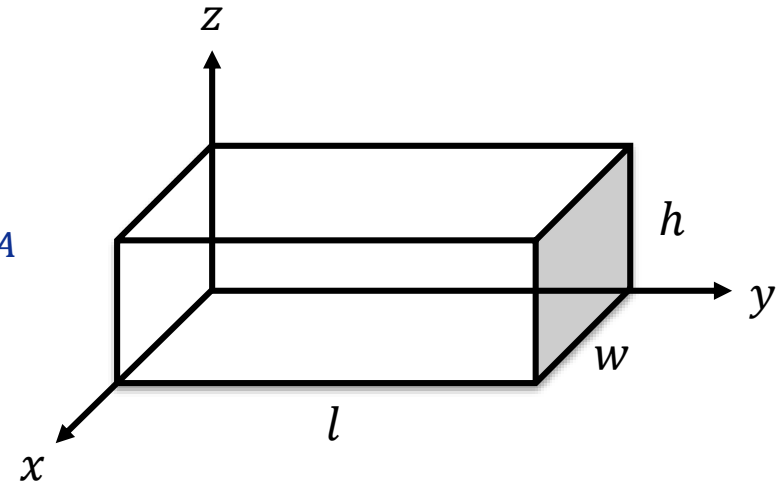
- Für eine Punktmasse ist der Trägheitstensor eine Nullmatrix

Massenverteilung: Beispiel Quader

- Trägheitssensorbestimmung von Quader mit uniformer Dichte ρ

- Mit $dm = \rho dx dy dz$ folgt

$$\begin{aligned}
 {}^A i_{xx} &= \int_0^h \int_0^l \int_0^w (y_A^2 + z_A^2) \rho dx_A dy_A dz_A \\
 &= \int_0^h \int_0^l (y_A^2 + z_A^2) w \rho dy_A dz_A \\
 &= \int_0^h \left(\frac{l^3}{3} + z_A^2 l \right) w \rho dz_A \\
 &= \left(\frac{h l^3 w}{3} + \frac{h^3 l w}{3} \right) \rho \\
 &= \frac{m}{3} (l^2 + h^2) \quad (\text{mit Gesamtmasse } m)
 \end{aligned}$$



- Für ${}^A i_{yy}$ und ${}^A i_{zz}$ ergibt sich analog

$${}^A i_{yy} = \frac{m}{3} (w^2 + h^2)$$

$${}^A i_{zz} = \frac{m}{3} (l^2 + w^2)$$

Massenverteilung: Beispiel Quader

- Berechnung von

$$\begin{aligned}
 {}^A i_{xy} &= \int_0^h \int_0^l \int_0^w x_A y_A \rho dx_A dy_A dz_A \\
 &= \int_0^h \int_0^l \frac{w^2}{2} y_A \rho dy_A dz_A = \int_0^h \frac{w^2 l^2}{4} \rho dz_A = \frac{m}{4} wl
 \end{aligned}$$

- Entsprechende Berechnung von ${}^A i_{xz} = \frac{m}{4} hw$, ${}^A i_{yz} = \frac{m}{4} hl$

- Trägheitstensor

$${}^A I = \begin{bmatrix} \frac{m}{3}(l^2 + h^2) & -\frac{m}{4}wl & -\frac{m}{4}hw \\ -\frac{m}{4}wl & \frac{m}{3}(w^2 + h^2) & -\frac{m}{4}hl \\ -\frac{m}{4}hw & -\frac{m}{4}hl & \frac{m}{3}(l^2 + w^2) \end{bmatrix}$$

Satz von Steiner

- Für parallele Achsen durch den Schwerpunkt
- Sei Frame A beliebig und Frame C im Massenschwerpunkt mit parallelen Achsen zu Frame A , dann gilt
 - ${}^A i_{zz} = {}^C i_{zz} + m \cdot \left({}^A u_{C_x}^2 + {}^A u_{C_y}^2 \right)$
 - ${}^A i_{xy} = {}^C i_{xy} - m \cdot {}^A u_{C_x} \cdot {}^A u_{C_y}$
- Mit Ortsvektor ${}^A \vec{u}_C = \left({}^A u_{C_x}, {}^A u_{C_y}, {}^A u_{C_z} \right)^T$
- Restliche Skalare ergeben sich entsprechend

Massenverteilung: Beispiel Quader

- Satz von Steiner in Matrixschreibweise

$${}^A I = {}^C I + m \cdot \left[{}^A \vec{u}_C^T \cdot {}^A \vec{u}_C \cdot E_3 - {}^A \vec{u}_C^T \cdot {}^A \vec{u}_C \right]$$

- Mit $E_3 = 3 \times 3$ Einheitsmatrix
- Angewandt auf Quaderbeispiel

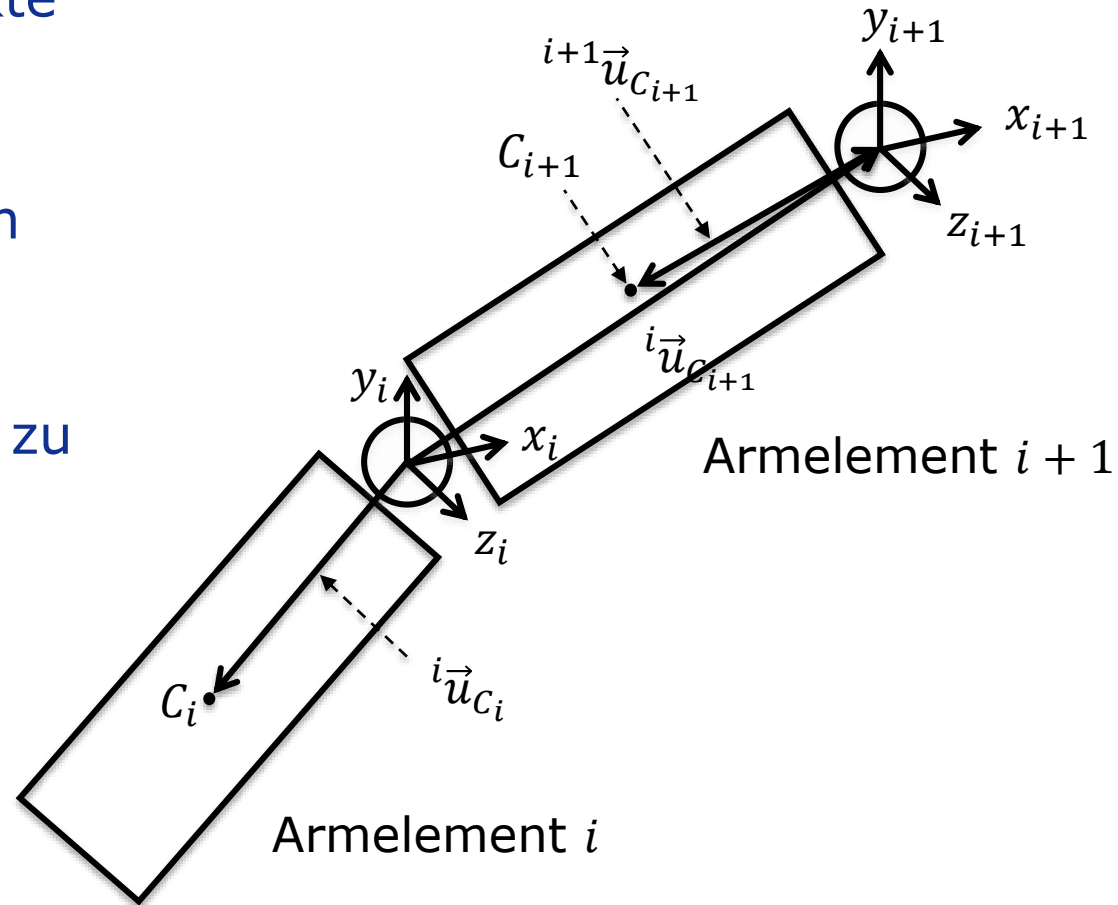
$${}^A \vec{u}_C = \begin{pmatrix} {}^A u_{Cx} \\ {}^A u_{Cy} \\ {}^A u_{Cz} \end{pmatrix} = \frac{1}{2} \begin{pmatrix} w \\ l \\ h \end{pmatrix} \quad {}^C i_{zz} = \frac{m}{12} \cdot (w^2 + l^2) \quad {}^C i_{xy} = 0$$

- Aus symmetrischen Betrachtungen ergeben sich die anderen Elemente. Resultierender Trägheitstensor: ${}^C I =$

$$\begin{bmatrix} \frac{m}{12} \cdot (h^2 + l^2) & 0 & 0 \\ 0 & \frac{m}{12} \cdot (w^2 + h^2) & 0 \\ 0 & 0 & \frac{m}{12} \cdot (l^2 + w^2) \end{bmatrix}$$

Geometr. Beschreibung benachbarter Armteile

- C_i : Massenschwerpunkte des Armelements i
- ${}^i\vec{u}_{c_i}$: Vektor zum Massenmittelpunkt von Armteil i in KS i
- ${}^i\vec{u}_{i+1}$: Vektor von Koordinatenursprung i zu $i+1$ in KS i

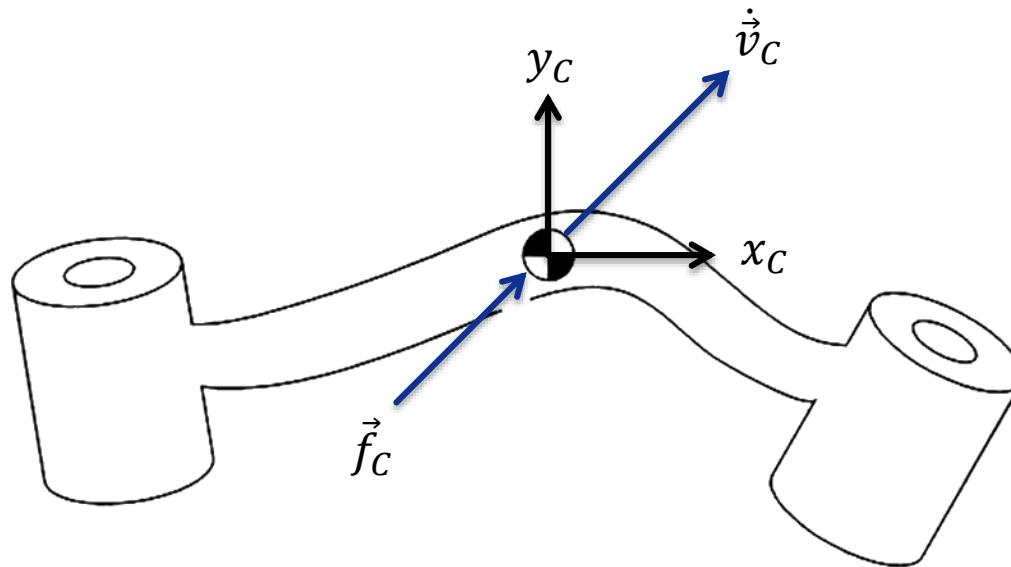


Herleitung der Bewegungsgleichungen

- Synthetische Methode (Newton-Euler):
Freikörperbild (Freischneiden)
 - Impuls- und Drallsatz
 - Zwangskräfteelimination führt zu Bewegungsgleichungen
- Analytische Methoden (Lagrange):
Anwendung von Extremalprinzipien
 - Arbeits- oder Energiebetrachtungen
 - Formales Ableiten ergibt die Bewegungsgleichungen

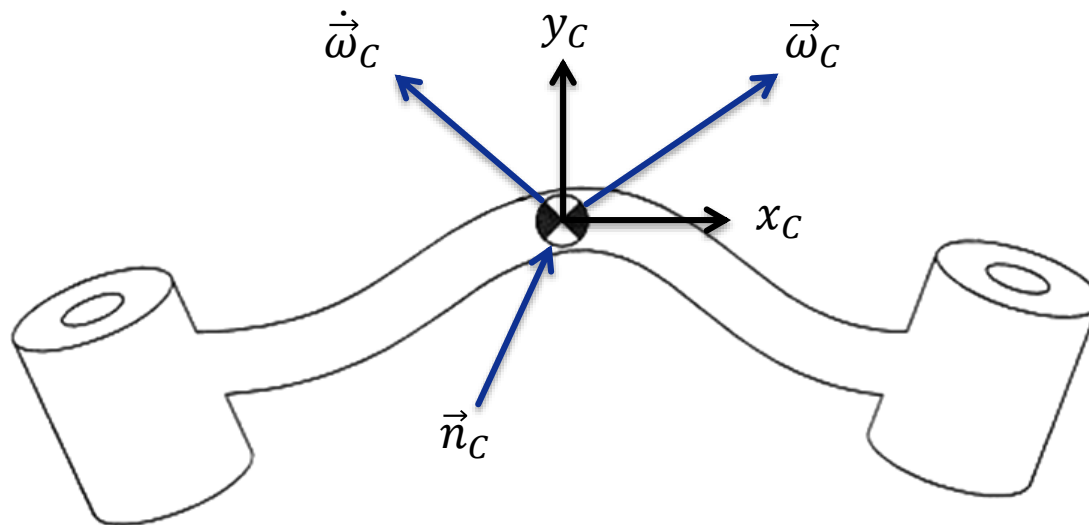
Methode nach Newton-Euler: Grundgleichungen

- Gleichung nach Newton: $\vec{f}_C = m \cdot \dot{\vec{v}}_C$
 - m : Gesamtmasse des Körpers
 - $\dot{\vec{v}}_C$: Beschleunigung im Massezentrum C
 - \vec{f}_C : Kraft, die im Zentrum wirkt



Methode nach Newton-Euler: Grundgleichungen

- Gleichung nach Euler: $\vec{n}_C = {}^C I \cdot \dot{\vec{\omega}}_C + \vec{\omega}_C \times {}^C I \cdot \vec{\omega}_C$
 - $\vec{\omega}_C$: Winkelgeschwindigkeit des Körpers
 - ${}^C I$: Trägheitstensor in Frame C
 - \vec{n}_C : Moment im Zentrum, das die Drehung verursacht



Methode nach Newton-Euler

- Iterative Geschwindigkeits- und Beschleunigungsbestimmung zur Berechnung der Massenkräfte der Segmente
- Rotationsgeschwindigkeit von Element $i + 1$

$${}^{i+1}\vec{\omega}_{i+1} = {}^{i+1}_i R \cdot ({}^i\vec{\omega}_i + \dot{\theta}_{i+1} \cdot {}^i\vec{e}_{z_i})$$
$${}_{i+1}^i R \cdot {}^{i+1}\vec{\omega}_{i+1} = {}^i\vec{\omega}_i + \dot{\theta}_{i+1} \cdot {}^i\vec{e}_{z_i}$$

Methode nach Newton-Euler

- Für die Winkelbeschleunigung gilt

Rotationsmatrix ${}^{i+1}_i R$
von $\vec{\theta}$ abhängig und
somit zeitabhängig

$$\frac{d}{dt} ({}^{i+1}_i R \cdot {}^{i+1}\vec{\omega}_{i+1}) = \frac{d}{dt} ({}^i\vec{\omega}_i + \dot{\theta}_{i+1} \cdot {}^i\vec{e}_{z_i})$$

$$\left(\frac{d}{dt} {}^{i+1}_i R \right) \cdot {}^{i+1}\vec{\omega}_{i+1} + {}^{i+1}_i R \cdot {}^{i+1}\dot{\vec{\omega}}_{i+1} = {}^i\dot{\vec{\omega}}_i + \ddot{\theta}_{i+1} \cdot {}^i\vec{e}_{z_i} \quad \text{Mit (8.2) folgt}$$

$$\dot{\theta}_{i+1} \cdot {}^i\vec{e}_{z_i} \times {}^{i+1}_i R \cdot {}^{i+1}\vec{\omega}_{i+1} + {}^{i+1}_i R \cdot {}^{i+1}\dot{\vec{\omega}}_{i+1} = {}^i\dot{\vec{\omega}}_i + \ddot{\theta}_{i+1} \cdot {}^i\vec{e}_{z_i}$$

$${}^{i+1}_i R \cdot {}^{i+1}\dot{\vec{\omega}}_{i+1} = {}^i\dot{\vec{\omega}}_i + \ddot{\theta}_{i+1} \cdot {}^i\vec{e}_{z_i} - \dot{\theta}_{i+1} \cdot {}^i\vec{e}_{z_i} \times {}^{i+1}_i R \cdot {}^{i+1}\vec{\omega}_{i+1}$$

$${}^{i+1}_i R \cdot {}^{i+1}\dot{\vec{\omega}}_{i+1} = {}^i\dot{\vec{\omega}}_i + \ddot{\theta}_{i+1} \cdot {}^i\vec{e}_{z_i} + {}^i\vec{\omega}_i \times \dot{\theta}_{i+1} \cdot {}^i\vec{e}_{z_i}$$

$${}^{i+1}\dot{\vec{\omega}}_{i+1} = {}^{i+1}_i R \cdot \left({}^i\dot{\vec{\omega}}_i + \ddot{\theta}_{i+1} \cdot {}^i\vec{e}_{z_i} + \left({}^i\vec{\omega}_i + \dot{\theta}_{i+1} \cdot {}^i\vec{e}_{z_i} \right) \times \dot{\theta}_{i+1} \cdot {}^i\vec{e}_{z_i} \right)$$

$${}^{i+1}\dot{\vec{\omega}}_{i+1} = {}^{i+1}_i R \cdot \left({}^i\dot{\vec{\omega}}_i + \ddot{\theta}_{i+1} \cdot {}^i\vec{e}_{z_i} + {}^i\vec{\omega}_i \times \dot{\theta}_{i+1} \cdot {}^i\vec{e}_{z_i} \right)$$

- Vereinfachung für ein Schubgelenk: ${}^{i+1}\dot{\vec{\omega}}_{i+1} = {}^{i+1}_i R \cdot {}^i\dot{\vec{\omega}}_i$

Methode nach Newton-Euler

- Lineargeschwindigkeit von Element $i + 1$

$${}^{i+1}\vec{v}_{i+1} = {}^{i+1}_i R \cdot ({}^i\vec{v}_i + {}^i\vec{\omega}_{i+1} \times {}^i\vec{u}_{i+1} + \dot{d}_{i+1} {}^i\vec{e}_{z_i})$$

- Linearbeschleunigung im Segment-Ursprung

$$\begin{aligned} {}^{i+1}\dot{\vec{v}}_{i+1} = {}^{i+1}_i R \cdot & \left({}^i\dot{\vec{v}}_i + \ddot{d}_{i+1} \cdot {}^i\vec{e}_{z_i} + {}^i\dot{\vec{\omega}}_{i+1} \times {}^i\vec{u}_{i+1} \right. \\ & \left. + {}^i\vec{\omega}_{i+1} \times ({}^i\vec{\omega}_{i+1} \times {}^i\vec{u}_{i+1}) + 2 {}^i\vec{\omega}_{i+1} \times ({}^i\vec{e}_{z_i} \dot{d}_{i+1}) \right) \end{aligned}$$

- Vereinfachung für ein Rotationsgelenk

$${}^{i+1}\dot{\vec{v}}_{i+1} = {}^{i+1}_i R \cdot \left({}^i\dot{\vec{v}}_i + {}^i\dot{\vec{\omega}}_{i+1} \times {}^i\vec{u}_{i+1} + {}^i\vec{\omega}_{i+1} \times ({}^i\vec{\omega}_{i+1} \times {}^i\vec{u}_{i+1}) \right)$$

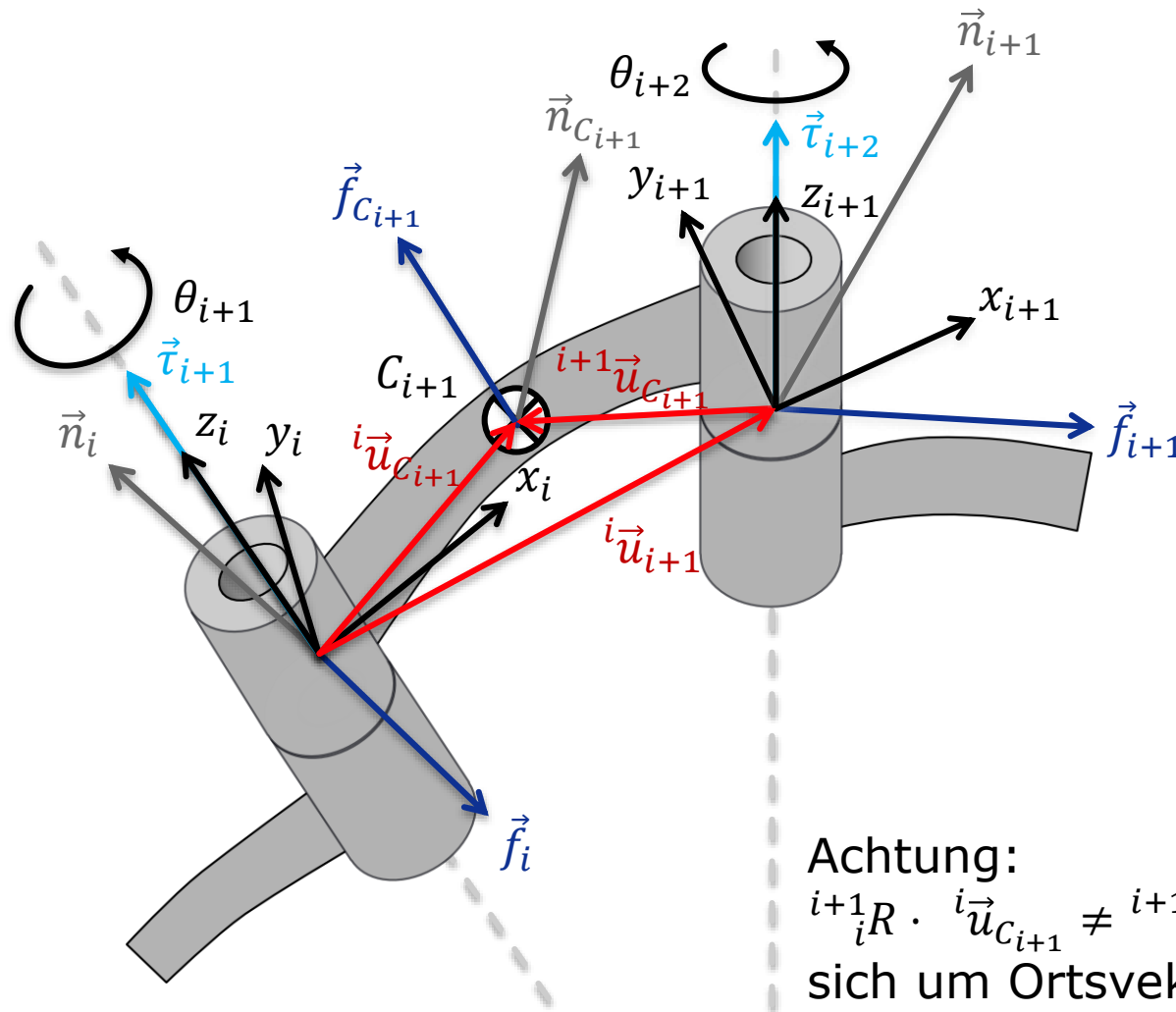
- Linearbeschleunigung im Massenzentrum

$${}^i\dot{\vec{v}}_{C_i} = {}^i\dot{\vec{v}}_i + {}^i\dot{\vec{\omega}}_i \times {}^i\vec{u}_{C_i} + {}^i\vec{\omega}_i \times ({}^i\vec{\omega}_i \times {}^i\vec{u}_{C_i})$$

Methode nach Newton-Euler

- Berechnung des ersten Segments: ${}^0\vec{\omega}_0 = {}^0\dot{\vec{\omega}}_0 = \vec{0}$
- Mit Linear- und Winkelbeschleunigungen in den Massenzentren ergeben sich Kräfte und Momente
$$\vec{f}_{C_i} = m_i \cdot \dot{\vec{v}}_{C_i}$$
$$\vec{n}_{C_i} = {}^c_i I \cdot \dot{\vec{\omega}}_i + \vec{\omega}_i \times {}^c_i I \cdot \vec{\omega}_i$$
- Kraft- und Momentenausgleich für jedes Segment
 - Betrachtung von eigener Massenkraft und -Trägheit
 - Berücksichtigung der von Nachbarsegmenten wirkenden Kräfte und Momente
- \vec{f}_i : Von Segment $i + 1$ auf Segment i ausgeübte Kraft
- \vec{n}_i : Von Segment $i + 1$ auf Segment i ausgeübtes Moment

Koordinatensysteme und Bezeichner



Achtung:
 ${}^{i+1}_i R \cdot {}^i\vec{u}_{C_{i+1}} \neq {}^{i+1}\vec{u}_{C_{i+1}}$ da es
 sich um Ortsvektoren handelt

Methode nach Newton-Euler

- Kraftausgleich in Gelenk i

$${}^i\vec{f}_i = {}^i\vec{f}_{C_{i+1}} + {}_{i+1}^iR \cdot {}^{i+1}\vec{f}_{i+1}$$

- Momentenausgleich

$${}^i\vec{n}_i = {}^i\vec{n}_{C_{i+1}} + {}_{i+1}^iR \cdot {}^{i+1}\vec{n}_{i+1} + {}^i\vec{u}_{C_{i+1}} \times {}^i\vec{f}_{C_{i+1}} + {}^i\vec{u}_{i+1} \times {}_{i+1}^iR$$

- Berechnung muss vom letzten Gelenk zur Basis erfolgen („Rückwärts“)

Methode nach Newton-Euler

- Zur Berechnung der in einem Gelenk i benötigten Kräfte wird nur die z-Komponente verwendet

$$\tau_{i+1} = {}^i\vec{n}_i^T \cdot {}^i\vec{e}_{z_i}$$

- Lineare Kraft bei Schubgelenken

$$\tau_{i+1} = {}^i\vec{f}_i^T \cdot {}^i\vec{e}_{z_i}$$

- Im freien Raum werden die Anfangskräfte und -momente auf Null gesetzt, d.h.

$$\vec{f}_N = \vec{n}_N = \vec{0}$$

(bei Kontakt mit der Umgebung oder Belastung ungleich Null)

Newton-Euler: Algo. zur Momentenberechnung

1. Iterative Berechnung der Geschwindigkeiten und Beschleunigungen ausgehend vom ersten Segment (äußere Iteration)

$${}^{i+1}\vec{\omega}_{i+1} = {}^{i+1}_i R \cdot ({}^i\vec{\omega}_i + \dot{\theta}_{i+1} \cdot {}^i\vec{e}_{z_i})$$

$${}^{i+1}\dot{\vec{\omega}}_{i+1} = {}^{i+1}_i R \cdot ({}^i\dot{\vec{\omega}}_i + \ddot{\theta}_{i+1} \cdot {}^i\vec{e}_{z_i} + {}^i\vec{\omega}_i \times \dot{\theta}_{i+1} \cdot {}^i\vec{e}_{z_i})$$

$$\begin{aligned} {}^{i+1}\dot{\vec{v}}_{i+1} = & {}^{i+1}_i R \cdot ({}^i\dot{\vec{v}}_i + \ddot{d}_{i+1} \cdot {}^i\vec{e}_{z_i} + {}^i\dot{\vec{\omega}}_{i+1} \times {}^i\vec{u}_{i+1} \\ & + {}^i\vec{\omega}_{i+1} \times ({}^i\vec{\omega}_{i+1} \times {}^i\vec{u}_{i+1}) + 2 {}^i\vec{\omega}_{i+1} \times ({}^i\vec{e}_{z_i} \dot{d}_{i+1})) \end{aligned}$$

$${}^i\dot{\vec{v}}_{C_i} = {}^i\dot{\vec{v}}_i + {}^i\dot{\vec{\omega}}_i \times {}^i\vec{u}_{C_i} + {}^i\vec{\omega}_i \times ({}^i\vec{\omega}_i \times {}^i\vec{u}_{C_i})$$

$${}^i\vec{f}_{C_i} = m_i \cdot {}^i\dot{\vec{v}}_{C_i}$$

$${}^i\vec{n}_{C_i} = {}^{C_i}_I \cdot {}^i\dot{\vec{\omega}}_i + {}^i\vec{\omega}_i \times {}^{C_i}_I \cdot {}^i\vec{\omega}_i$$

Newton-Euler: Algo. zur Momentenberechnung

- Bei Betrachtung der Gravitation gilt

$${}^0\dot{\vec{v}}_0 = \vec{g}'$$
 - g' entgegengesetzt zu Gravitationsvektor
 - Entspricht Beschleunigung der Roboterbasis $1g$ nach oben

2. Rückwärtsberechnung der Kräfte und Momente ausgehend vom letzten Segment zurück zur Basis (innere Iteration)

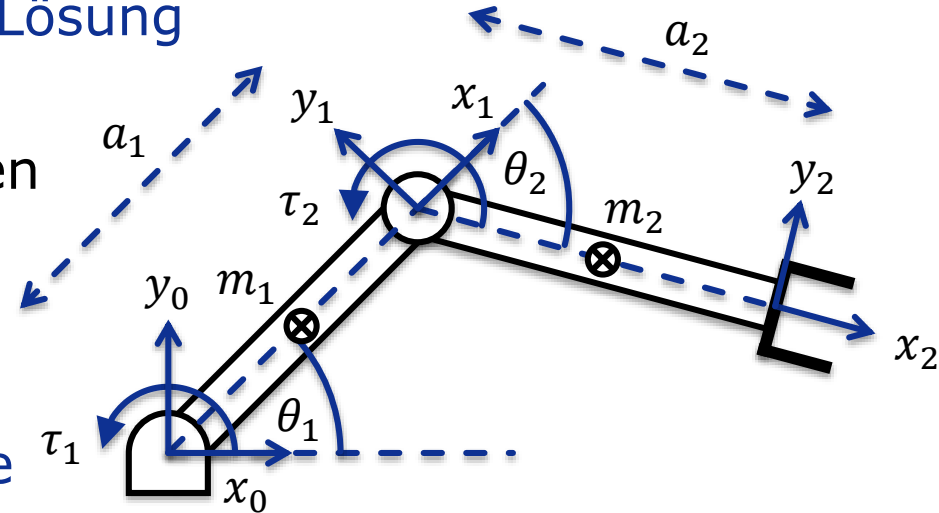
$${}^i\vec{f}_i = {}^i\vec{f}_{C_{i+1}} + {}_{i+1}^iR \cdot {}^{i+1}\vec{f}_{i+1}$$

$${}^i\vec{n}_i = {}^i\vec{n}_{C_{i+1}} + {}_{i+1}^iR \cdot {}^{i+1}\vec{n}_{i+1} + {}^i\vec{u}_{C_{i+1}} \times {}^i\vec{f}_{C_{i+1}} + {}^i\vec{u}_{i+1} \times {}_{i+1}^iR \cdot {}^{i+1}\vec{f}_{i+1}$$

$$\tau_{i+1} = {}^i\vec{n}_i^T \cdot {}^i\vec{e}_{z_i} \text{ bzw. } \tau_{i+1} = {}^i\vec{f}_i^T \cdot {}^i\vec{e}_{z_i}$$

Methode nach Newton-Euler: Beispiel

- Beispiel einer geschlossenen Lösung
 - Zwei-Gelenk-Roboter
 - Vereinfachung: Punktmassen m_1, m_2 in den Gelenk-Mitten



Vorgehensweise

- Bestimmung bekannter Werte
- Bestimmung der Rotationsmatrizen zwischen Gelenk-Frames
- Äußere Iteration (Geschw., Beschl.)
 - Für Gelenk 1, 2
- Innere Iteration (Kräfte, Momente)
 - Für Gelenk 2, 1

Methode nach Newton-Euler: Beispiel

1. Bestimmung der bekannten Werte

- Vektoren zu den Massezentren

$${}^1\vec{u}_{C_1} = -\frac{a_1}{2} \cdot {}^1\vec{e}_{x_1}, \quad {}^2\vec{u}_{C_2} = -\frac{a_2}{2} \cdot {}^2\vec{e}_{x_2}$$

- Trägheitstensor (wg. Punktmasse)

$${}^{c_1}I_1 = {}^{c_2}I_2 = \begin{bmatrix} 0 & 0 & 0 \\ 0 & 0 & 0 \\ 0 & 0 & 0 \end{bmatrix}$$

- Keine wirkenden Kräfte auf TCP: $\vec{f}_2 = \vec{0}, \vec{n}_2 = \vec{0}$
- Keine Bewegung der Roboterbasis: $\vec{\omega}_0 = \vec{0}, \dot{\vec{\omega}}_0 = \vec{0}$
- Berücksichtigung der Gravitation: ${}^0\dot{\vec{v}}_0 = g \cdot {}^0\vec{e}_{y_0}$

Methode nach Newton-Euler: Beispiel

- Vektor zum nächsten Koordinatensystem

$${}^0\vec{u}_1 = \begin{pmatrix} c_1 a_1 \\ s_1 a_1 \\ 0 \end{pmatrix}, \quad {}^1\vec{u}_2 = \begin{pmatrix} c_2 a_2 \\ s_2 a_2 \\ 0 \end{pmatrix}$$

2. Rotationsmatrizen zwischen Gelenk-Frames (siehe Kap. VII)

$${}_{i+1}^i R = \begin{bmatrix} \cos(\theta_{i+1}) & -\sin(\theta_{i+1}) & 0 \\ \sin(\theta_{i+1}) & \cos(\theta_{i+1}) & 0 \\ 0 & 0 & 1 \end{bmatrix} = \begin{bmatrix} c_{i+1} & -s_{i+1} & 0 \\ s_{i+1} & c_{i+1} & 0 \\ 0 & 0 & 1 \end{bmatrix}$$

$${}^{i+1}_i R = \begin{bmatrix} \cos(\theta_{i+1}) & \sin(\theta_{i+1}) & 0 \\ -\sin(\theta_{i+1}) & \cos(\theta_{i+1}) & 0 \\ 0 & 0 & 1 \end{bmatrix} = \begin{bmatrix} c_{i+1} & s_{i+1} & 0 \\ -s_{i+1} & c_{i+1} & 0 \\ 0 & 0 & 1 \end{bmatrix}$$

Methode nach Newton-Euler: Beispiel

- Äußere Iteration (1. Schritt)

$${}^1\vec{\omega}_1 = {}^1_0R \cdot ({}^0\vec{\omega}_0 + \dot{\theta}_1 \cdot {}^0\vec{e}_{z_0}) = \vec{0} + \begin{pmatrix} 0 \\ 0 \\ \dot{\theta}_1 \end{pmatrix}$$

$${}^1\dot{\vec{\omega}}_1 = {}^1_0R \cdot ({}^0\dot{\vec{\omega}}_0 + \ddot{\theta}_1 \cdot {}^0\vec{e}_{z_0} + {}^0\vec{\omega}_0 \times \dot{\theta}_1 \cdot {}^0\vec{e}_{z_0}) = \vec{0} + \begin{pmatrix} 0 \\ 0 \\ \ddot{\theta}_1 \end{pmatrix} + \vec{0}$$

$$\begin{aligned} {}^1\dot{\vec{v}}_1 &= {}^1_0R \cdot ({}^0\dot{\vec{v}}_0 + {}^0\dot{\vec{\omega}}_1 \times {}^0\vec{u}_1 + {}^0\vec{\omega}_1 \times ({}^0\vec{\omega}_1 \times {}^0\vec{u}_1)) \\ &= \begin{pmatrix} s_1 g \\ c_1 g \\ 0 \end{pmatrix} + \begin{pmatrix} 0 \\ \ddot{\theta}_1 \cdot a_1 \\ 0 \end{pmatrix} + \begin{pmatrix} -\dot{\theta}_1^2 \cdot a_1 \\ 0 \\ 0 \end{pmatrix} = \begin{pmatrix} s_1 g - \dot{\theta}_1^2 \cdot a_1 \\ c_1 g + \ddot{\theta}_1 \cdot a_1 \\ 0 \end{pmatrix} \end{aligned}$$

Methode nach Newton-Euler: Beispiel

- Äußere Iteration (1. Schritt)

$$\begin{aligned}
 {}^1\dot{\vec{v}}_{C_1} &= {}^1\dot{\vec{v}}_1 + {}^1\dot{\vec{\omega}}_1 \times {}^1\vec{u}_{C_1} + {}^1\vec{\omega}_1 \times ({}^1\vec{\omega}_1 \times {}^1\vec{u}_{C_1}) \\
 &= \begin{pmatrix} s_1 g - \dot{\theta}_1^2 \cdot a_1 \\ c_1 g + \ddot{\theta}_1 \cdot a_1 \\ 0 \end{pmatrix} + \begin{pmatrix} 0 \\ -\ddot{\theta}_1 \cdot \frac{a_1}{2} \\ 0 \end{pmatrix} + \begin{pmatrix} \dot{\theta}_1^2 \cdot \frac{a_1}{2} \\ 0 \\ 0 \end{pmatrix} = \begin{pmatrix} s_1 g - \dot{\theta}_1^2 \cdot \frac{a_1}{2} \\ c_1 g + \ddot{\theta}_1 \cdot \frac{a_1}{2} \\ 0 \end{pmatrix}
 \end{aligned}$$

$${}^1\vec{f}_{C_1} = m_1 \cdot {}^1\dot{\vec{v}}_{C_1}$$

$$\vec{n}_{C_1} = {}^{C_1}I \cdot \dot{\vec{\omega}}_{C_1} + \vec{\omega}_{C_1} \times {}^{C_1}I \cdot \vec{\omega}_{C_1} = \vec{0} + \vec{0}$$

Methode nach Newton-Euler

- ☺ Beliebige Anzahl von Gelenken
- ☺ Belastungen der Armelemente werden berechnet
- ☺ Geringer Aufwand $O(n)$
(n = Anzahl der Gelenke)
- ☹ Rekursion

Methode nach Lagrange

- Bewegungsgleichung nach Lagrange

$$\tau_i = \frac{d}{dt} \frac{\delta l}{\delta \dot{\theta}_i} - \frac{\delta l}{\delta \theta_i}$$

- θ_i : Drehwinkel oder Translationsweg
- $\dot{\theta}_i$: Gelenkgeschwindigkeiten
- τ_i : Kraft-/Momentenvektor in Gelenken
- Lagrange Funktion: $l = e_{kin} - e_{pot}$ (bezogen auf Basis)
 - Beschreibt Unterschied von kinetischer und potentieller Energie eines mechanischen Systems

Methode nach Lagrange: Kinetische Energie

- Kinetische Energie $e_{kin,i}$ von Gelenk i

$$e_{kin,i} = \underbrace{\frac{1}{2} m_i \cdot \vec{v}_{C_i}^T \cdot \vec{v}_{C_i}}_{\text{Linearer Anteil}} + \underbrace{\frac{1}{2} {}^i\vec{\omega}_i^T \cdot {}^c I_i \cdot {}^i\vec{\omega}_i}_{\text{Rotat. Anteil}}$$

- \vec{v}_{C_i} und ${}^i\vec{\omega}_i$ abhängig von Position und Geschw. der Gelenke
- Gesamte kinetische Energie

$$e_{kin} = \sum_{i=1}^n e_{kin,i}$$

Methode nach Lagrange: Kinetische Energie

- Kinetische Energie kann abhängig von Position und Geschwindigkeit beschrieben werden

$$e_{kin}(\vec{\theta}, \dot{\vec{\theta}}) = \frac{1}{2} \dot{\vec{\theta}}^T \cdot M(\vec{\theta}) \cdot \dot{\vec{\theta}}$$

- $M(\vec{\theta})$: Hier eine $n \times n$ Massenmatrix, in der jedes Element eine komplexe Funktion abhängig von $\vec{\theta}$ ist
- $M(\vec{\theta})$: Positiv-definite Matrix, d.h. $\dot{\vec{\theta}}^T \cdot M(\vec{\theta}) \cdot \dot{\vec{\theta}}$ liefert immer einen positiven Skalar
- Diese Gleichung entspricht dem gängigen Ausdruck für die kinetische Energie einer Punktmasse

$$e_{kin} = \frac{1}{2} m \cdot v^2$$

Methode nach Lagrange: Potentielle Energie

- Potentielle Energie u_i von Gelenk i

$$e_{pot,i} = -m_i \cdot {}^0\vec{g}^T \cdot {}^0\vec{u}_{C_i} + e_{pot,ref_i}$$

- ${}^0\vec{g}$: 3×1 Gravitationsvektor, bezogen auf Ursprungsframe 0
- ${}^0\vec{u}_{C_i}$: 3×1 Vektor, der das Massenzentrum von i beschreibt (abhängig von den Gelenkstellungen)
- e_{pot,ref_i} : Konstante, so dass $e_{pot,i} \geq 0$ gilt
- Die gesamte potentielle Energie e_{pot} ergibt sich durch

$$e_{pot} = \sum_{i=1}^n e_{pot,i}$$

- Die potentielle Energie kann ebenfalls als Funktion $e_{pot}(\vec{\theta})$ in Abhängigkeit von den Gelenkwinkeln beschrieben werden

Methode nach Lagrange

- Für die Lagrange-Funktion gilt demnach

$$l(\vec{\theta}, \dot{\vec{\theta}}) = e_{kin}(\vec{\theta}, \dot{\vec{\theta}}) - e_{pot}(\vec{\theta})$$

- Für die Bewegungsgleichung mit Drehmoment-Vektor Q gilt

$$\vec{\tau} = \frac{d}{dt} \frac{\delta l}{\delta \dot{\vec{\theta}}} - \frac{\delta l}{\delta \vec{\theta}}$$

- Für einen Manipulator gilt

$$\vec{\tau} = \frac{d}{dt} \frac{\delta e_{kin}(\vec{\theta}, \dot{\vec{\theta}})}{\delta \dot{\vec{\theta}}} - \frac{\delta e_{kin}(\vec{\theta}, \dot{\vec{\theta}})}{\delta \vec{\theta}} + \frac{\delta e_{pot}(\vec{\theta})}{\delta \vec{\theta}}$$

Methode nach Lagrange

- ☺ Einfaches Aufstellen der Gleichungen
- ☺ Geschlossenes Modell
- ☺ Analytisch auswertbar
- ☹ Berechnung sehr umfangreich $O(n^4)$
(n = Anzahl der Gelenke)
- ☹ Nur Antriebsmomente werden berechnet

Effizienz der Ansätze

- Verfahren nach Newton-Euler
 - Multiplikationen: $126n - 99$
 - Additionen: $106n - 92$
- Verfahren nach Lagrange
 - Multiplikationen: $32n^4 + 86n^3 + 171n^2 + 53n - 128$
 - Additionen: $25n^4 + 66n^3 + 129n^2 + 42n - 96$
- Für typische Roboter ($n = 6$ Gelenke) ist das Newton-Euler-Verfahren $100 \times$ effizienter
- Bei beiden Verfahren sind Optimierungen möglich

Anforderungen an Manipulatoren

- Zuverlässiges Positionieren: Genauigkeit (Wiederholgenauigkeit)
- Vermeidung von Kollisionen
- Bewegungsausführung: Fließend und mit angemessenen Geschwindigkeiten und Beschleunigungen
- Anpassung an veränderlichen Bedingungen

Grundsätzliche Fragestellungen

- Direkte Kinematik
 - Gegeben seien alle Gelenkstellungen. Wo ist der TCP?
- Inverse Kinematik
 - TCP-Stellung gegeben. Mit welchen Gelenkstellungen kann Stellung erreicht werden?
- Dynamik
 - Welche Kräfte/Momente müssen die einzelnen Gelenkantriebe aufbringen, um den TCP mit einer bestimmten Beschleunigung zu bewegen?
- Bahn-Planung
 - Wie sieht eine „gute“ Trajektorie aus, die alle Kollision vermeidet?

Nächste Vorlesung ...

Bahnsteuerung

- Grundlagen
- Interpolationsarten
- Spline-Interpolation